

Détection de rayonnement à très basses Température

4^{ème} Ecole d'Automne D'Aussois : Balaruc les Bains 14- 20 Novembre 1999

Amplificateur à SQUID

Dominique Mailly

DRTB7 1999-16

SQUID

(I) SUPRACONDUCTEUR

ETAT FONDAMENTAL : CONDENSAT DE
PAIRES D'ELECTRONS

ETAT MACROSCOPIQUE COHERENT

$$\Psi(r, t) = \rho(r, t) e^{i\varphi}$$

ρ : densité de paire

φ : phase

A l'équilibre ($j=0$) et sans
champ magnétique

$\varphi = \text{cte}$ dans tout
le supra

Quantification du fluxoïde.

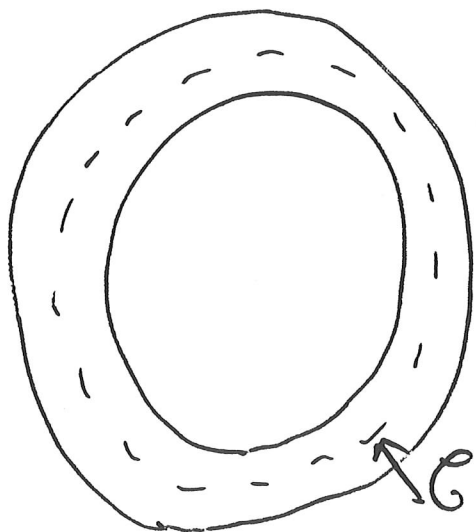
$$\vec{\nabla} \varphi = \text{action}$$

$$\vec{\nabla} \varphi = \frac{1}{\hbar} \vec{p} = \frac{1}{\hbar} (\vec{p} + 2e\vec{A})$$

$$\vec{p} = m\vec{v} \quad \vec{j} = 2ep\vec{v}$$

$$\vec{\nabla} \varphi = \frac{1}{\hbar} \left(\frac{m}{2ep} \vec{j} + 2e\vec{A} \right)$$

Cas d'un anneau



Cohérence de phase.

$$\oint \vec{\nabla} \varphi \cdot d\vec{\ell} = 2n\pi$$

$$\oint \frac{1}{\hbar} \left(\frac{m}{2ep} \vec{j} + 2e\vec{A} \right) \cdot d\vec{\ell} = 2n\pi$$

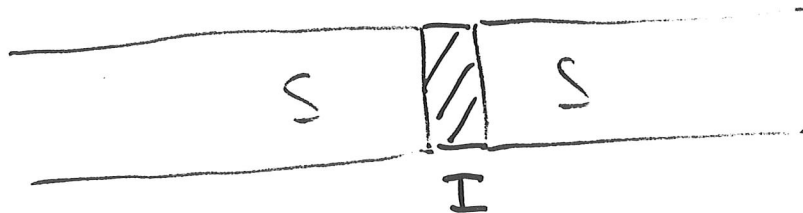
fluxoïde

Sur C $\vec{j} = 0$ (les courants ne circulent que en surface)

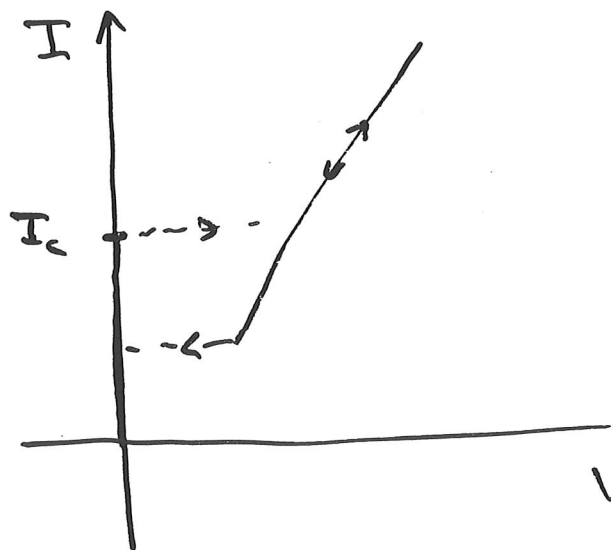
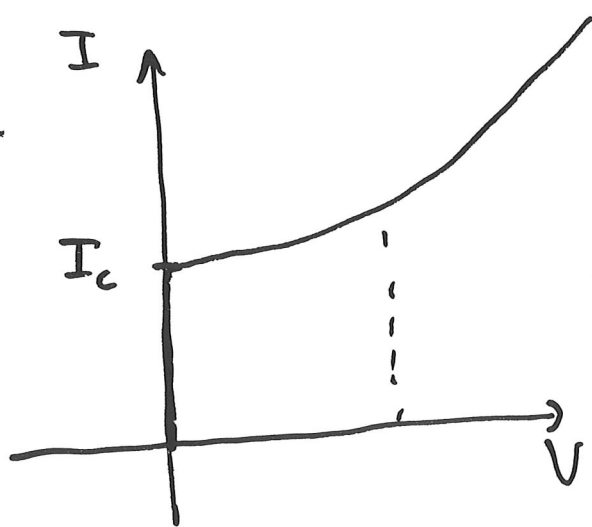
$$\oint \vec{A} \cdot d\vec{\ell} = \phi \quad \phi = n \phi_0 \quad \phi_0 = \frac{h}{2e}$$

$$\phi_0 = 4.07 \cdot 10^{-15} \text{ Wb}$$

Jonction Josephson.



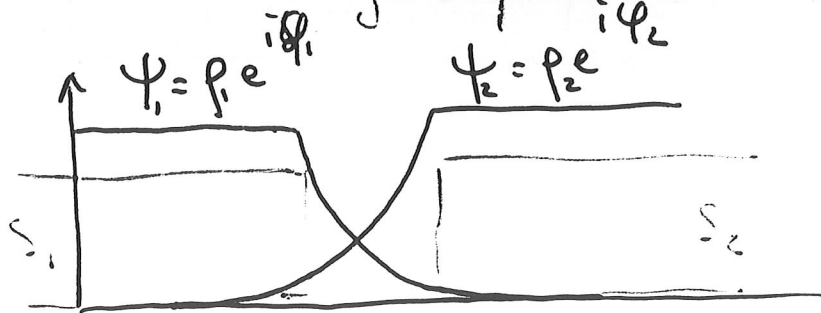
isolant suffisamment mince pour
les paires puissent passer par effet tunnel



Jusqu'à un courant I_c la jonction
se comporte comme un supra ($V=0$)
Elle transite ensuite vers un état
normal.

I_c est caractéristique de la
transparence de la jonction

Equation de Josephson



① $V=0$ $I = I_c \sin(\phi_2 - \phi_1) = I_c \sin\theta$

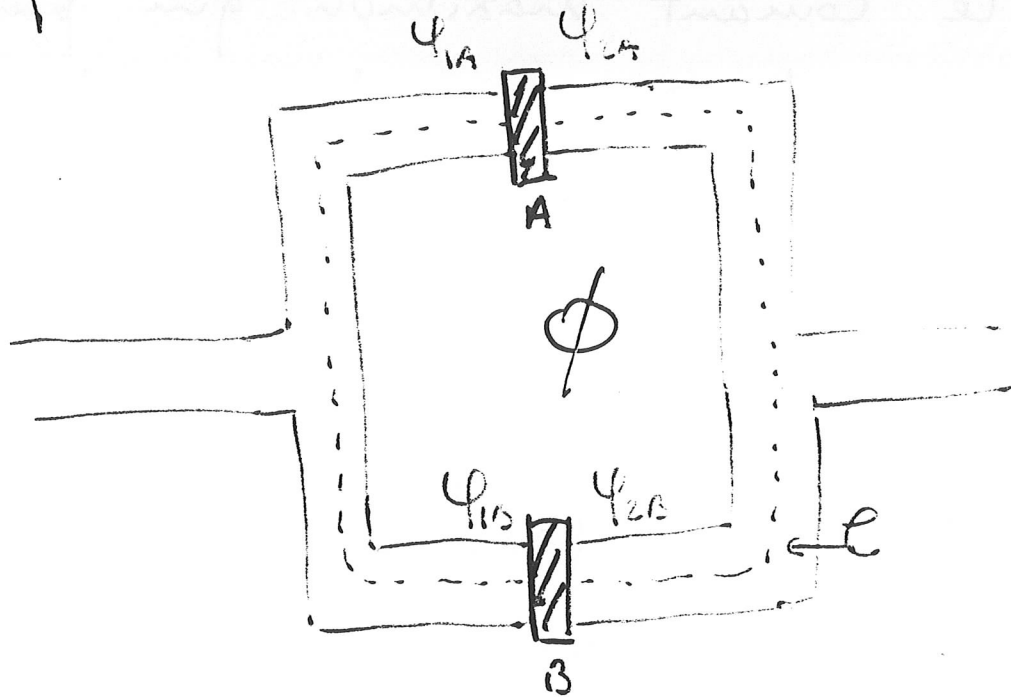
② $V \neq 0$ Un courant alternatif de fréquence $\frac{2eV}{h}$ circule

$$V = \frac{\hbar}{2e} \frac{d\theta}{dt}$$

fréquence Josephson : $484 \text{ MHz}/\mu\text{V}$

→ application hyperfréquence des jonctions Josephson (DéTECTEURS millimétriques)

Interféromètre



À l'intérieur du supra $J=0$

$$\vec{\nabla}\varphi = \frac{2eA}{\hbar}$$

le long de l'anneau C

$$(\varphi_{2A} - \varphi_{1A}) + (\varphi_{1B} - \varphi_{2B}) = \frac{2e}{\hbar} \int A \cdot dl = \frac{2\pi\phi}{\phi_0}$$

Josephson $\rightarrow I = I_A + I_B$

$$I = I_c \sin(\varphi_{2A} - \varphi_{1A}) + I_c \sin(\varphi_{2B} - \varphi_{1B})$$

$$I = I_c \cos S \cos\left(\frac{2\pi\phi}{\phi_0}\right)$$

• On néglige l'inductance de la boucle

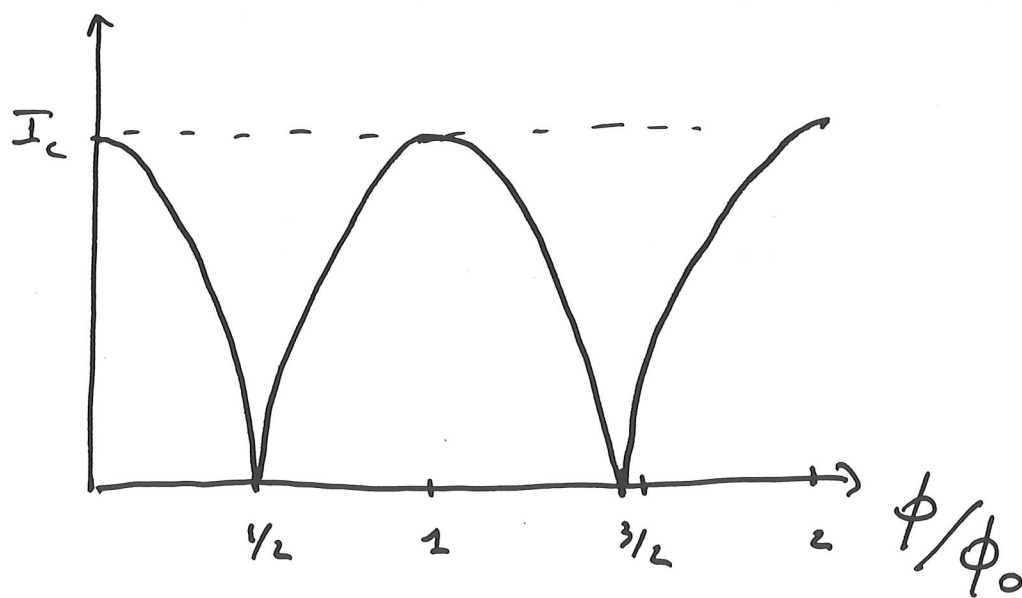
$$\phi = \phi_e + L I$$

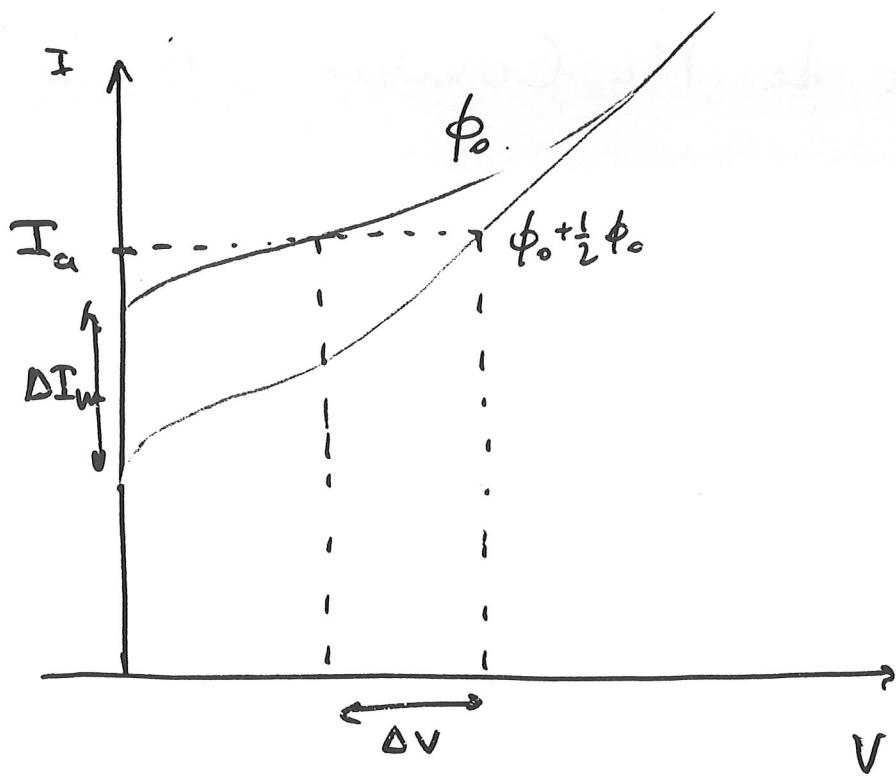
• S paramètre qui dépend des différences de phase

le courant maximum qui peut circuler sans tension aux bornes du circuit.

$$I_0 = I_c \left| \cos\left(\frac{2\pi\phi}{\phi_0}\right) \right|$$

C'est une fonction périodique du flux qui traverse l'anneau.

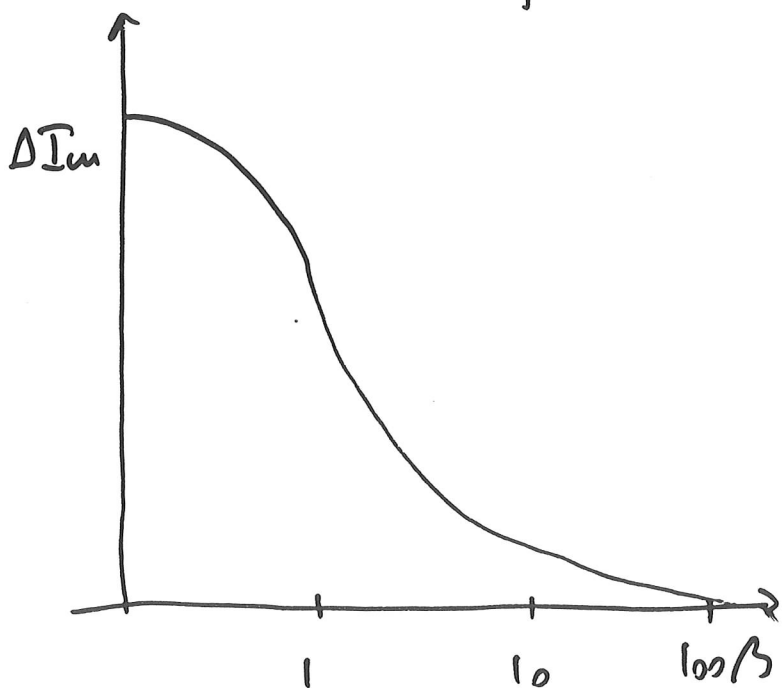




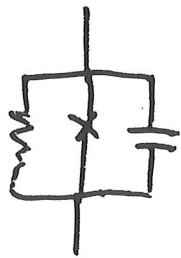
Si on ne néglige plus l'inductance du SQUID \rightarrow solution numérique

$$\beta = \frac{2\pi L I_c}{\phi_0} \sim 1$$

pour une modulation optimale



Modèle de Mc Cumber RST



$$I = \frac{V}{R} + C \frac{dV}{dt} + I_c \sin \theta$$

$$I = \frac{\hbar}{2eR} \frac{d\theta}{dt} + \frac{C\hbar}{2e} \frac{d^2\theta}{dt^2} + I_c \sin \theta$$

Temps caractéristique du circuit $\tau_1 = RC$

Temps Josephson : $\tau_2 = \frac{\hbar}{2eRI_c}$

$\tau_1 > \tau_2 \rightarrow$ hystérique.

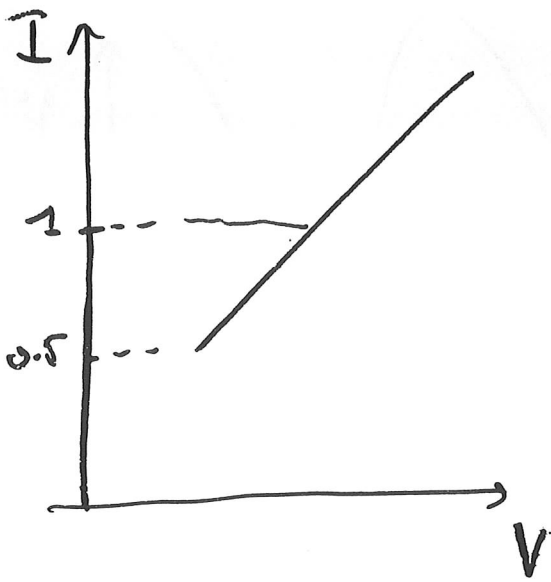
Plusieurs oscillations Josephson avec τ_1 .

$$\langle I_{\text{Josephson}} \rangle = \langle I_c \sin \theta \rangle = 0$$

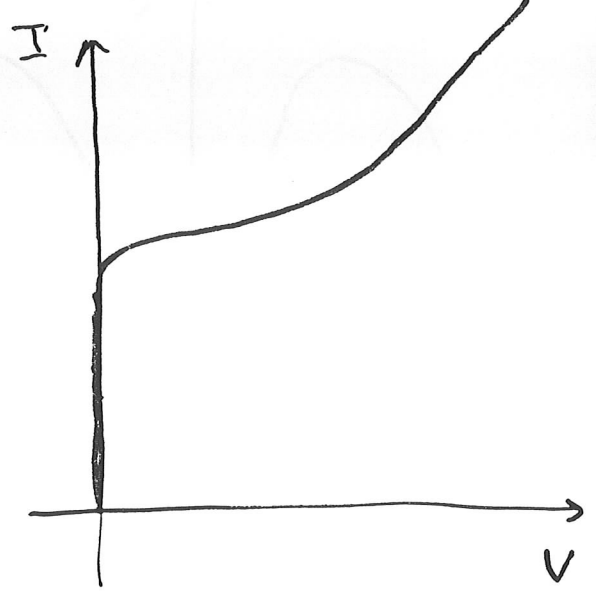
$$C \frac{dV}{dt} = 0 \quad I = V/R$$

$\tau_1 < \tau_2$ Pas d'hystérésis

$$\beta_c = \frac{\tau_1}{\tau_2} = \frac{2\pi R I_c}{\Phi_0} \quad \text{coef Mc Cumber}$$

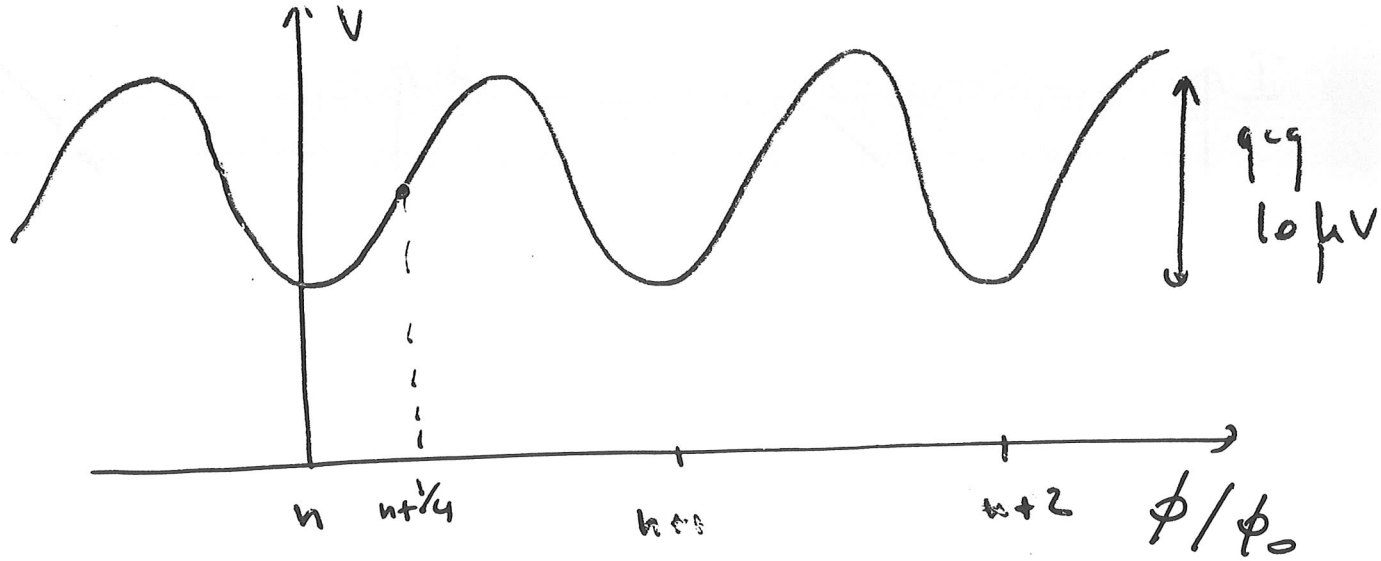


$$\beta = 6$$



$$\beta = 0.3$$

Pour éviter l'hystérésis on shunte
 les jonctions avec une résistance
 de façon $\beta_c \approx 1$



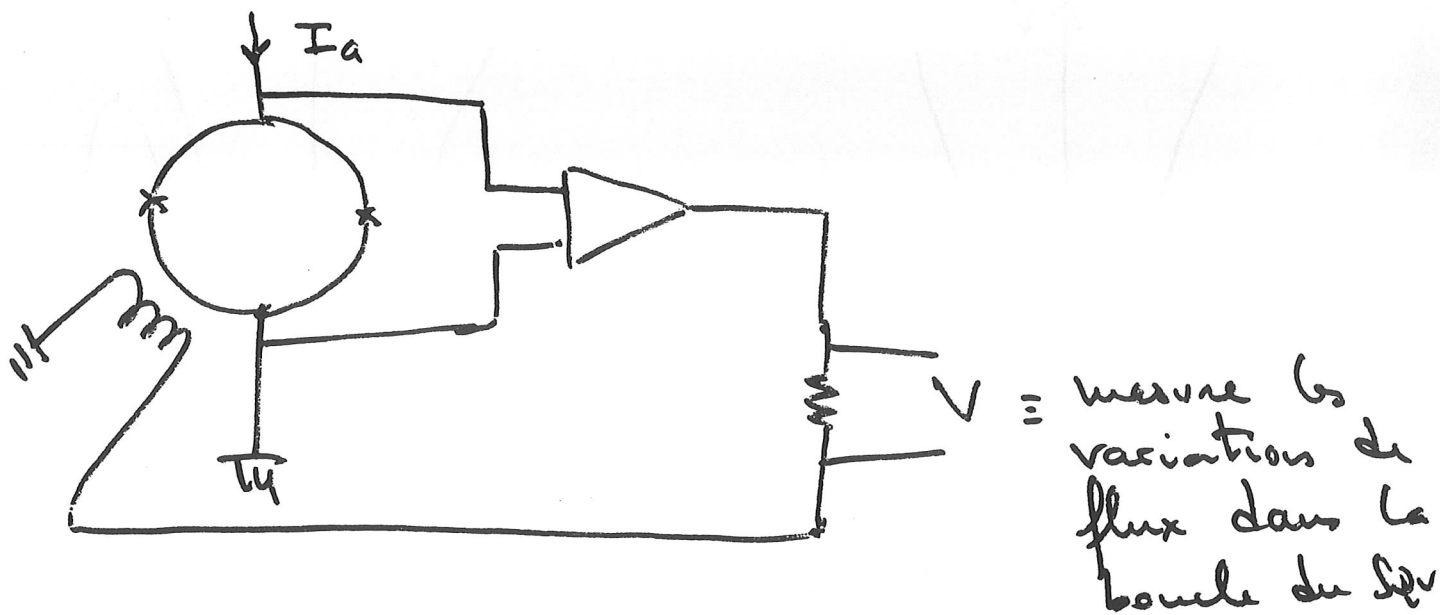
SQUID \equiv convertisseur flux \rightarrow tension

909 10 μ V \rightarrow faut \bar{a} amplifier avec
des FET

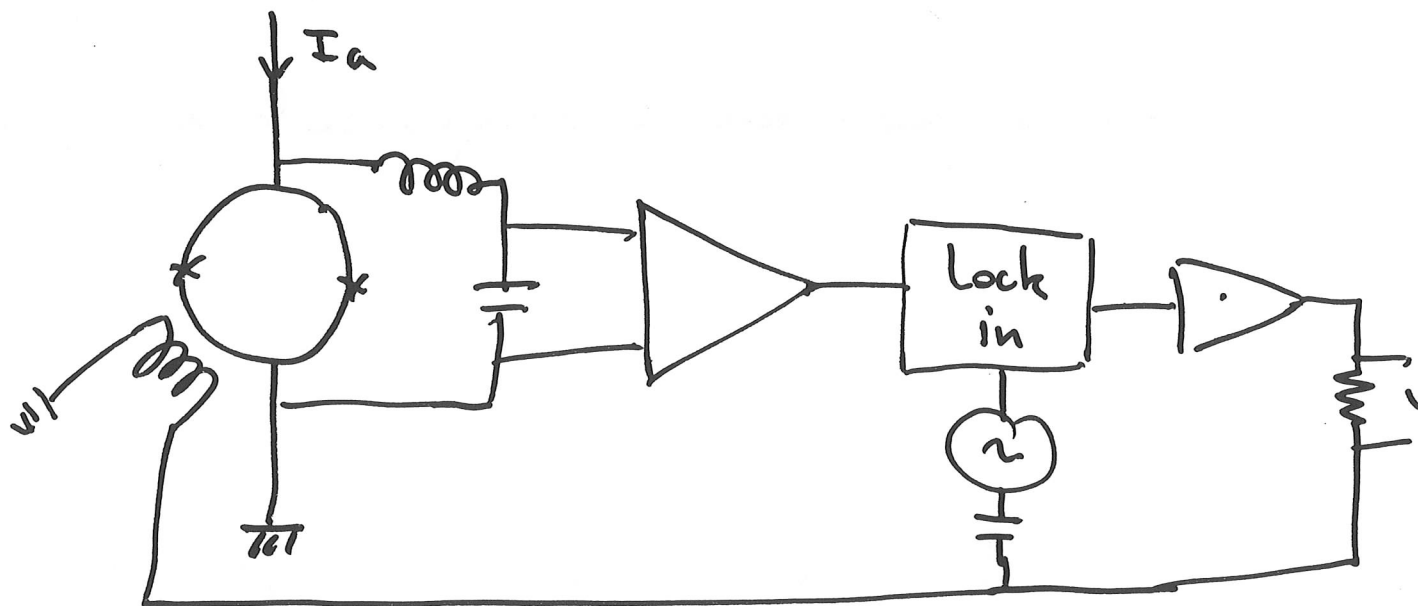
maximum de sensibilité : $\phi = (2n+1) \frac{\phi_0}{4}$

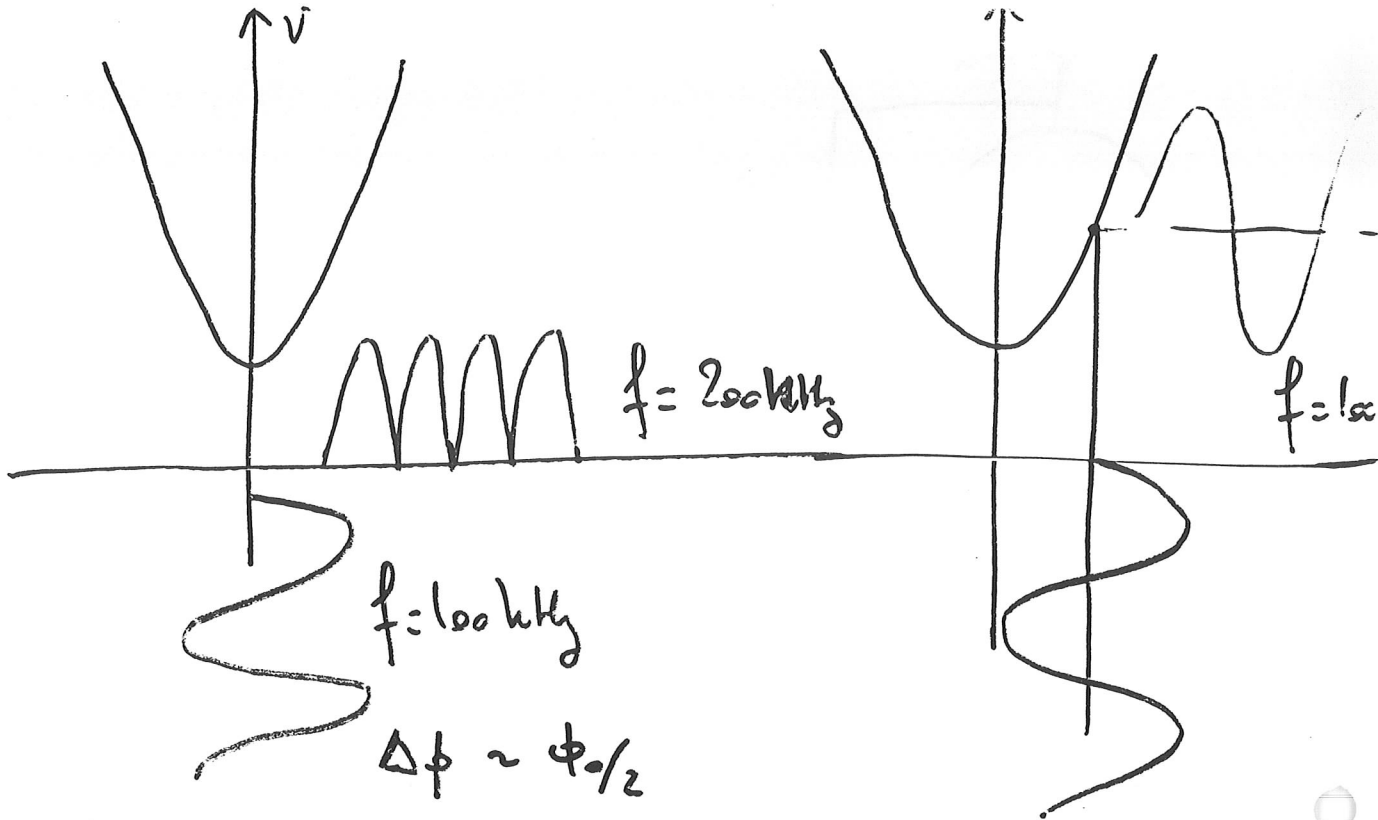
\rightarrow polarise en flux le SQUID avec
une bobine couplée au SQUID

\rightarrow Pour augmenter la dynamique
on utilise le flux comme détecteur
de zéro dans une boucle de contre
réaction de flux.



Pour éviter les problèmes de dérive ou module le flux ($f \approx 100 \text{ kHz}$) élimine le bruit $1/f$.





La composante à $f = 100 \text{ kHz}$ n'apparaît que si $\phi \neq n\phi_0$. Sa phase dépend du signe du changement de flux

$$\phi = n\phi_0 \quad V_{\text{induit}} = 0$$

$$\phi = (n+\delta)\phi_0 \quad V_{\text{induit}} > 0$$

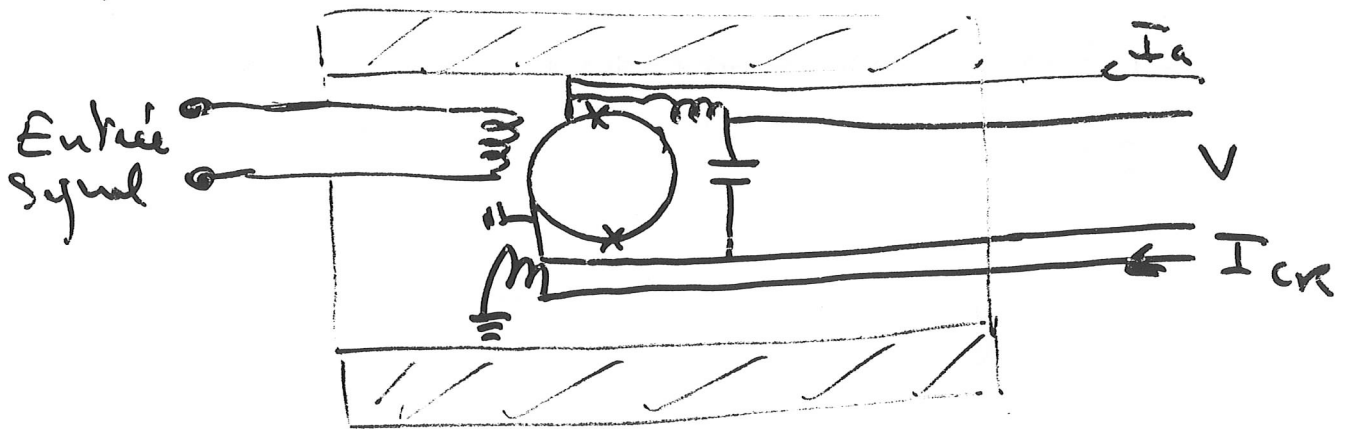
$$\phi = (n-\delta)\phi_0 \quad V_{\text{induit}} < 0$$

Le courant fourni par l'ampli de sortie produit un flux qui annule $\delta\phi_0$. $V \equiv$ proportionnel à $\delta\phi_0$

Comme le SQUID est très sensible au flux

→ enfermé dans un blindage supraconducteur

→ autre bobine pour à venir le flux



SQUID \equiv convertisseur courant tension

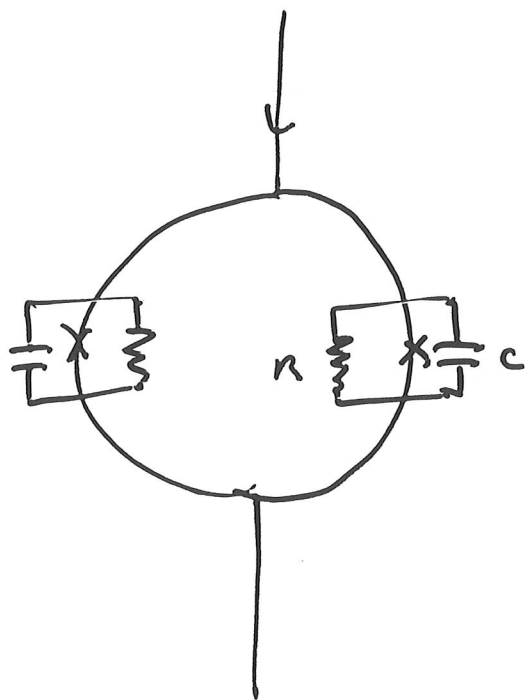
Résolution

$\delta\phi$: plus petite variation de flux
que le SQUID peut mesurer
dans une bande de 1 Hz

Résolution énergie

$$E = \frac{\delta\phi^2}{2L}$$

Calcul numérique avec le modèle
RSTJ -



Typiquement.

$$\left\{ \begin{array}{l} I_0 = 1 \mu\text{A} \\ R = 10 \Omega \\ C = 0.5 \text{ pF} \\ L = 1 \text{ nH} \end{array} \right.$$

$$R \leq \sqrt{\frac{\phi_0}{2\pi I_0 C}}$$

pas d'hystérésis

Résolution énergétique

$$\varepsilon = \frac{\delta\phi^2}{L} \sim \frac{\delta k T L}{R}$$

$$R = \sqrt{\frac{\phi_0}{2\pi I_0 C}}$$

$$\varepsilon = \delta k T (\pi L C)^{1/2}$$

Réduire le bruit

Réduire $C \rightarrow$ diminuer la surface de jonction

Réduire $L \rightarrow$ diminuer la taille de la boucle.

$$\text{Pb. } 2\pi L I_0 \sim \phi_0$$

$$\text{si } L \downarrow \quad I_0 \uparrow$$

$$\text{or si } C \downarrow \quad I_0 \downarrow$$

Avec les paramètres précédents

$$\text{à } T = 4K$$

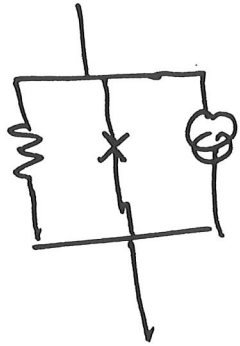
$$S_\phi^2 = 2 \cdot 10^{-6} \phi_0 / \sqrt{Hz}$$

$$\varepsilon \approx 100h$$

Bruit thermique.

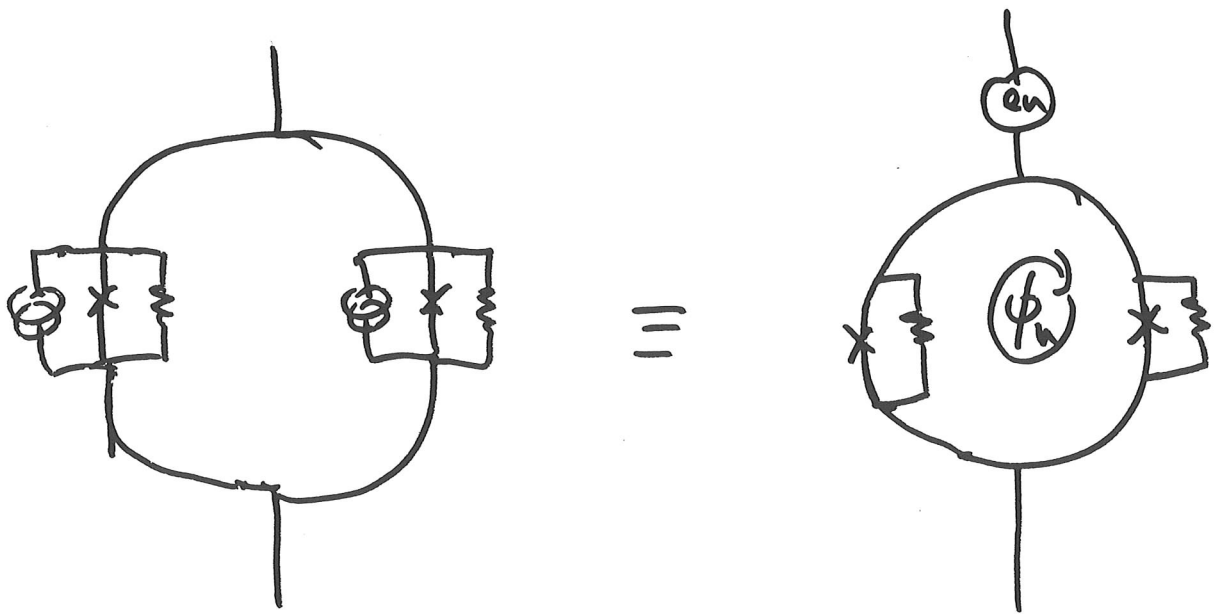


ou néglige souvent C.



$$\frac{d\theta}{dt} + \sin\theta = i + i_n$$

On montre



$$S_v = 16kTR$$

$$S_\phi = 16kT \frac{L^2}{R}$$

Exemple Ketchen et al

$$L = 11 \text{ pH} \quad 10 \text{ } \mu\text{m}^2 \text{ junction } n=2$$

$$T = 1.8 \text{ K} \quad \epsilon \approx 5 h$$

Bruit ultime $T=0$

fluctuation de point zéro dans les shunts.

\Leftrightarrow bruit de grenaille

$$S = 2eI_0$$

ou remplace $kT \leftrightarrow 2eRI_0$

$$\epsilon = 8eI_0 \frac{RL}{R}$$

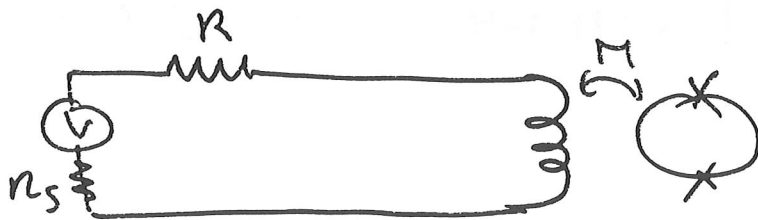
$$\epsilon \approx 4h \quad (\epsilon = h)$$

un SQUID est donc très proche de la limite quantique

Bruit $1/f$: typiquement

$$10^{-5} \phi_0 / \sqrt{\text{Hz}} \quad \text{à } f = 1 \text{ Hz}$$

Application mesure électrique



$$\delta\phi = \frac{M SV}{R_s + R}$$

$$\delta\phi = 5 \cdot 10^{-6} \phi_0 \quad M = 5 \text{ nH}$$

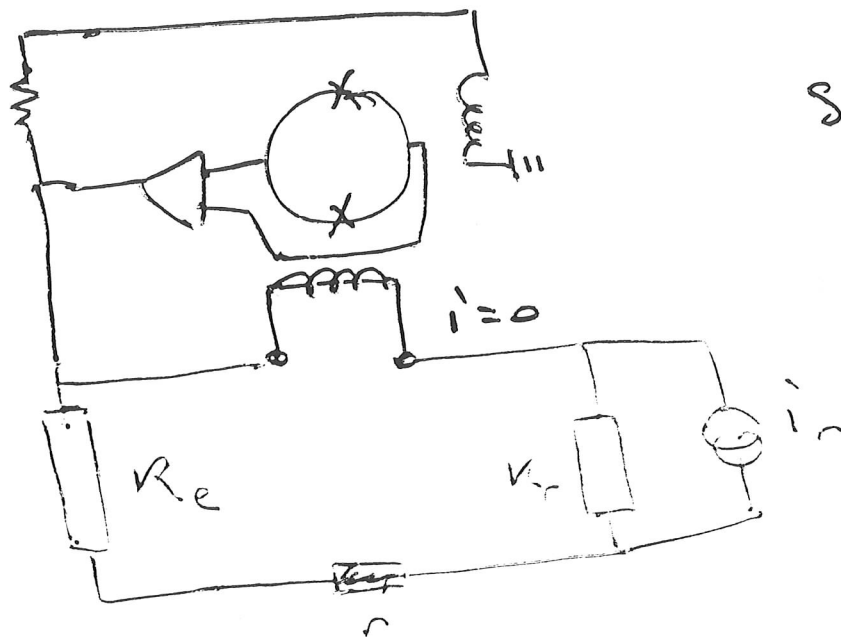
$R_s \ll R$ source de tension $SV = 10^{-10} \text{ V}$

mais le bruit thermique dans R
est très supérieur

En ampèremètre:

$$\delta i = \frac{\delta\phi}{M} = 4 \text{ pA} / \sqrt{\text{Hz}}$$

Mesure de resistance en pont.



SQUID en galvanometre

Le signal de rétroaction assure l'équilibrage du pont $i=0$

SQUID quantum Design

$$\delta\phi = 6 \cdot 10^{-6} \phi_0 / \sqrt{\text{Hz}} \leftrightarrow 5 \text{ pA} / \sqrt{\text{Hz}}$$

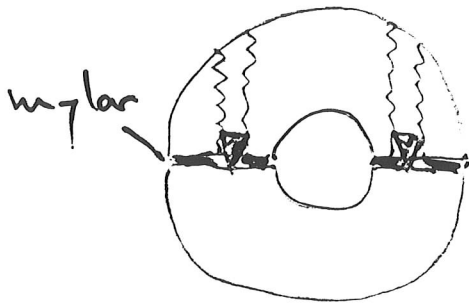
$$5 \text{ pA} / \sqrt{\text{Hz}} \leftrightarrow 9.3 \Omega \text{ à } T=4\text{K}$$

Si $R_{\text{Total}} \text{ pont} < 9.3 \Omega$ le

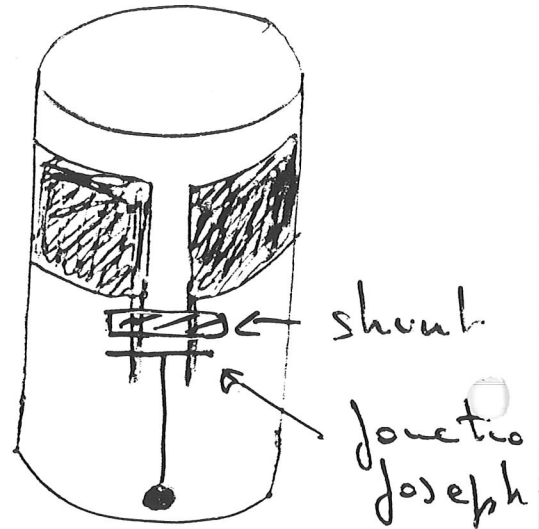
bruit thermique du pont domine le bruit du SQUID

Réalisation pratique (KF squid) non discutés ici

Premier squid sur des tubes



jonction à vis
(peu fiable)



Facile à coupler avec une inductance
mais L très grande C très grand
mauvaise performance.

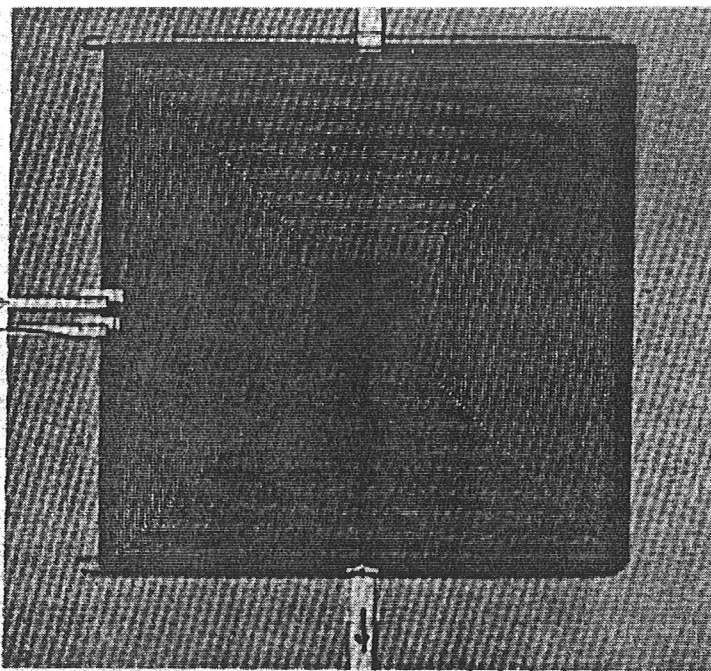


TECHNOLOGIE PLANAIRE

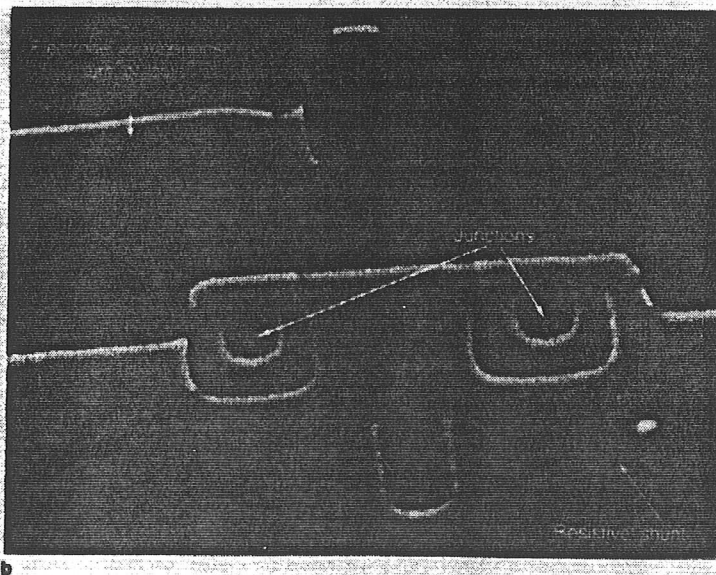
SQUID Stability.

↓ I, V

bobine
d'entrée
50 tours.



900 μm



2.5 μm

$$\delta\phi = 3 \cdot 10^{-6} \phi_0 / \sqrt{\mu_0}$$

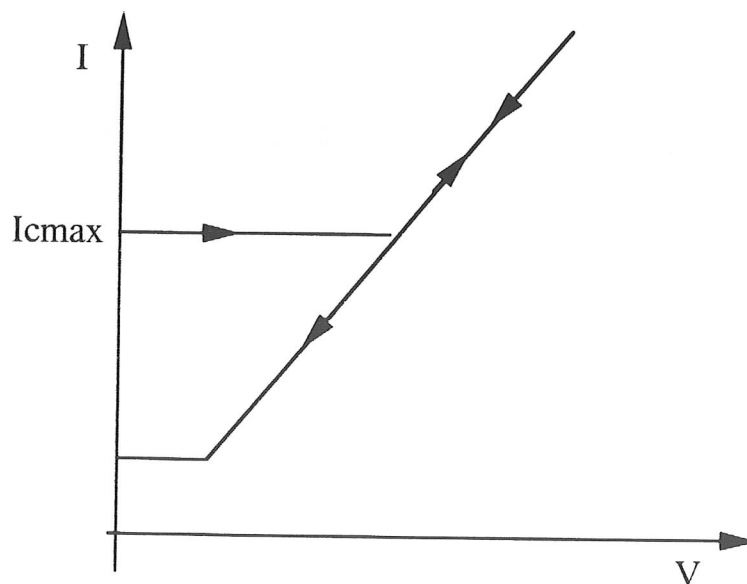
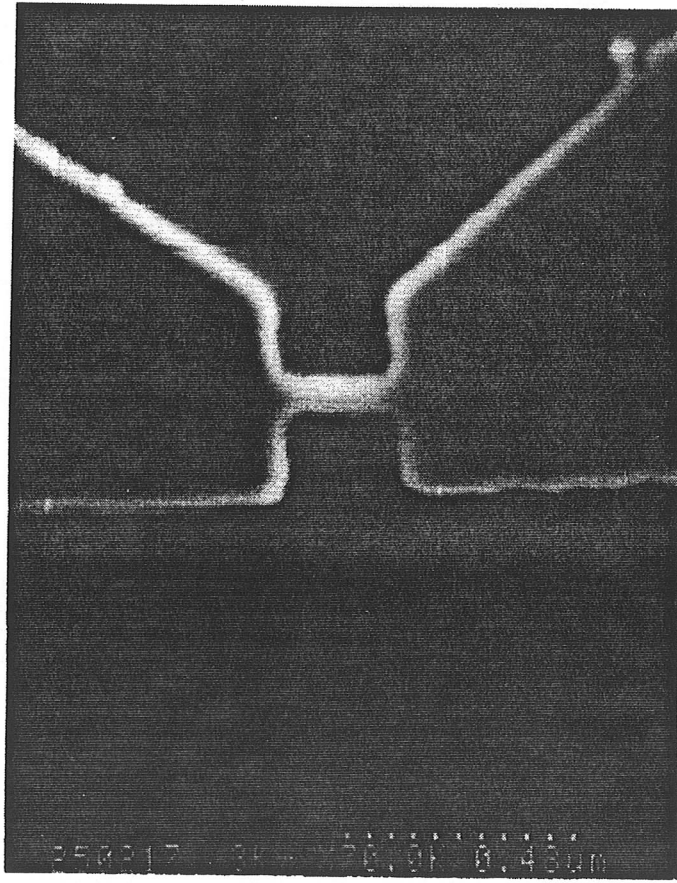
$$\varepsilon = 99 \text{ } 100 \text{ h}$$

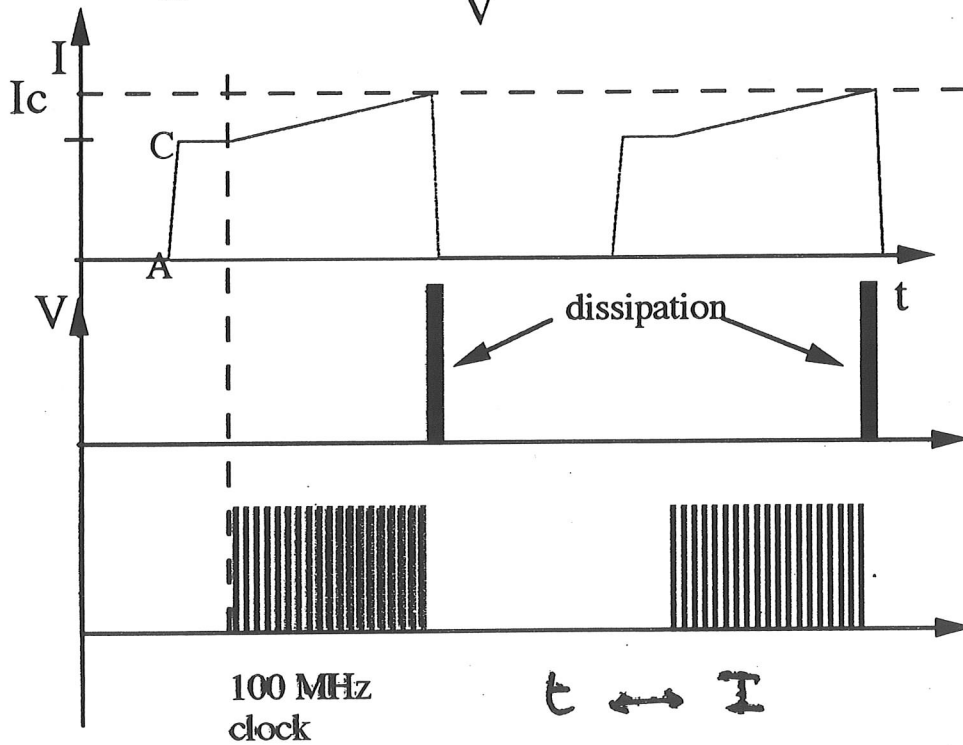
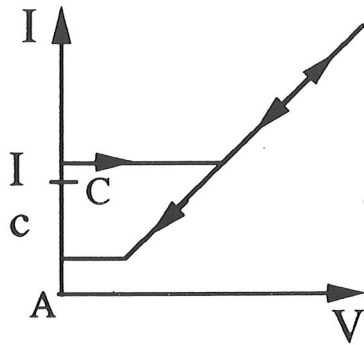
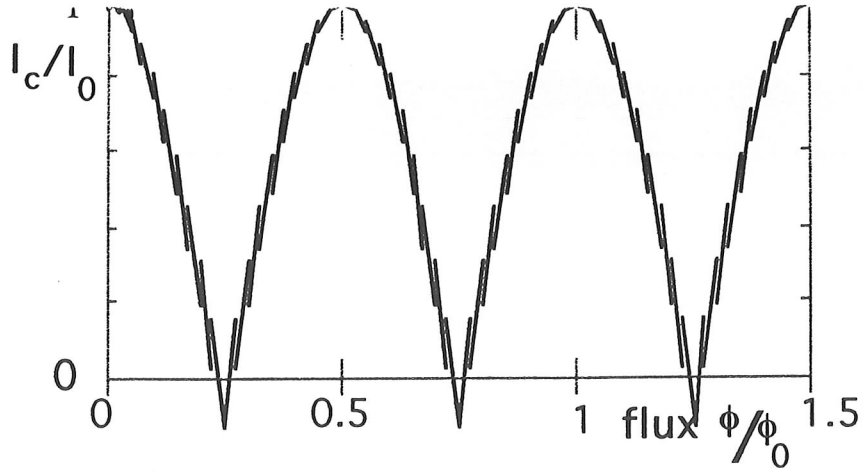
FABRICATION DE MICROSQUID

Jonction Josephson micropont

Facilité de la fabrication - une seule étape technologique (pas de recuit, d'oxydation,)

Compatible avec la réduction de la taille du SQUID





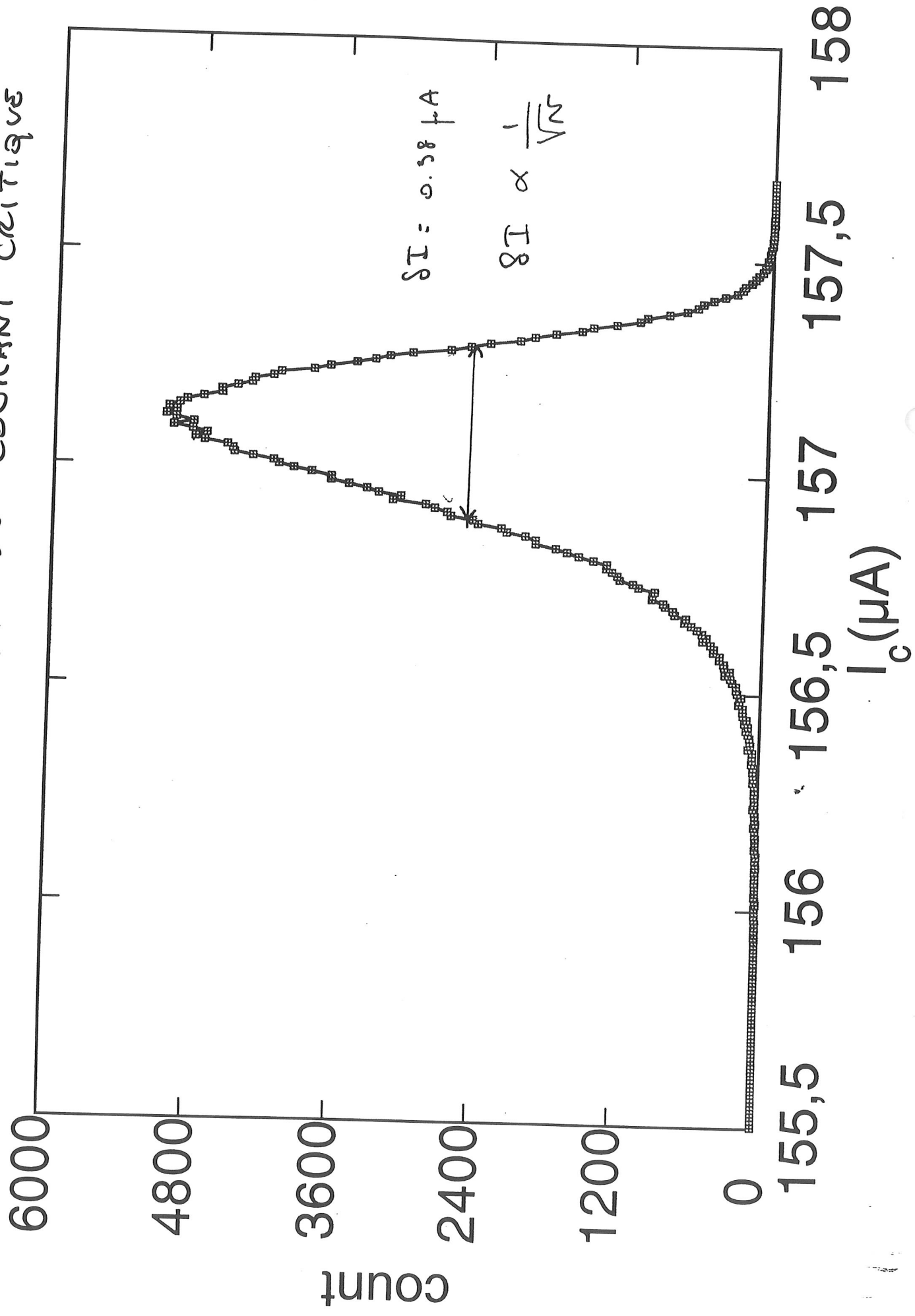
cycle de mesure: $100\mu\text{s}$

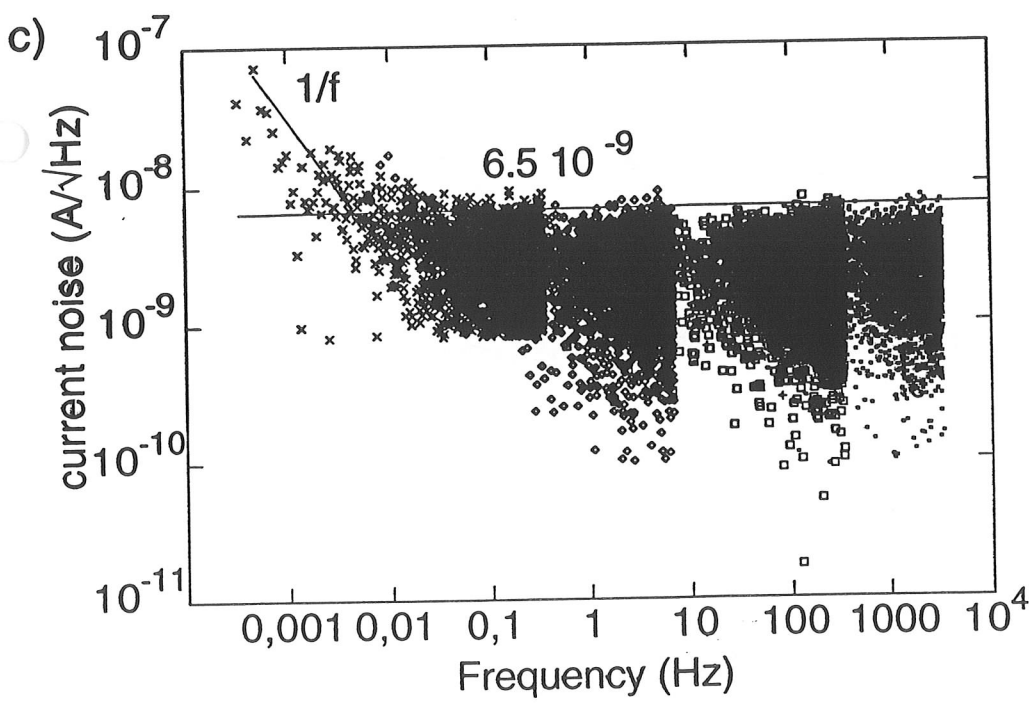
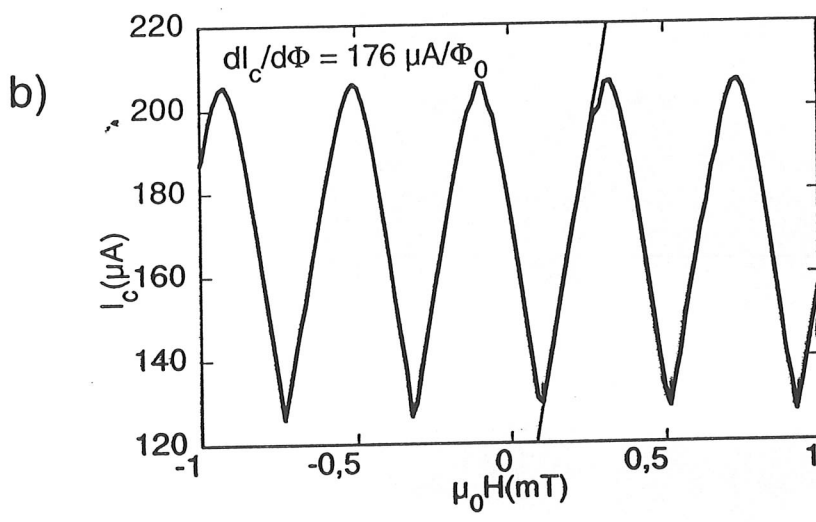
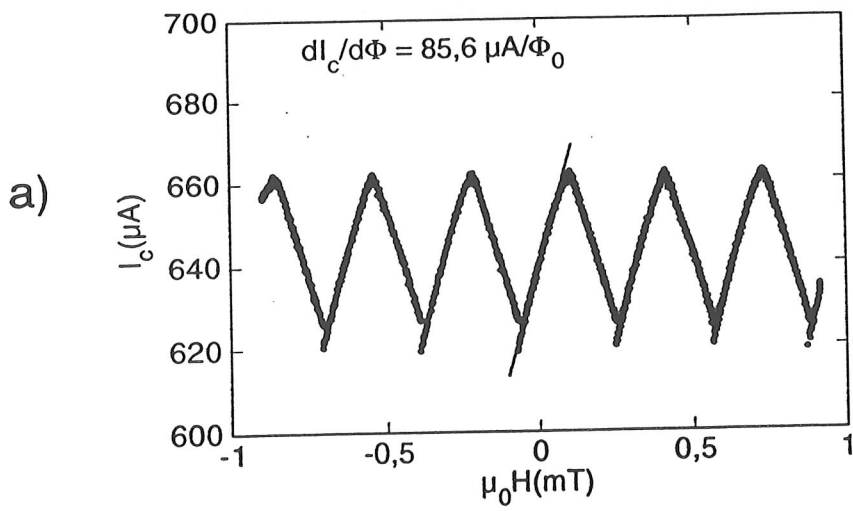
temps de repos (refroidissement): $1\mu\text{s}$

fréquence de mesure : 10kHz

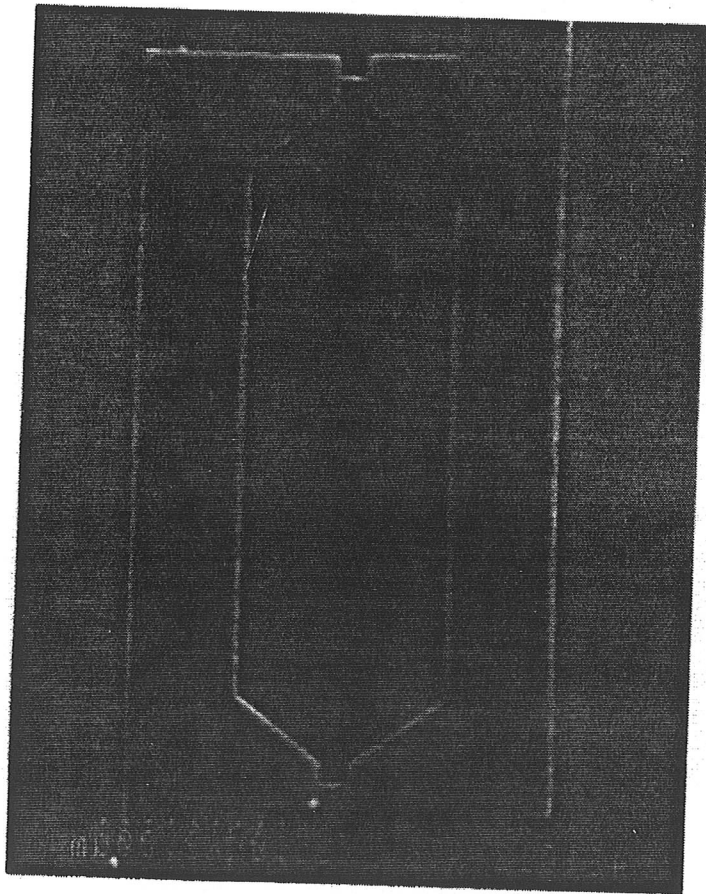
$$10^{-5} \phi_0 / (\text{Hz})^{1/2}$$

HISTOGRAMME DU COURANT CRITIQUE





$3 \cdot 10^{-5} \Phi_0 / \sqrt{Hz}$



EXEMPLE DE REALISATION

Sensibilité limite des μ SQUID

$$\text{à } 10 \text{ kHz} \quad \delta\phi \approx 2 \cdot 10^{-5} \phi_0 / \sqrt{\text{Hz}}$$

Dans un SQUID shunté la tension au borne est alternative à la fréquence Josephson typiquement 10 GHz
→ moyenne pour le SQUID shunté

limite quantique $\varepsilon = h$

$$\varepsilon = \frac{\delta\phi^2}{2L} \quad \text{ici } L \approx 1 \text{ pH}$$

$$\delta\phi = 10^{-8} \phi_0$$

mesuré à 10 kHz

$$\delta\phi = 10^{-8} \frac{\sqrt{10 \text{ kHz}}}{\sqrt{10 \text{ GHz}}} = 10^{-5} \phi$$

les μ SQUID sont donc proche de la limite quantique

APPLICATIONS

?

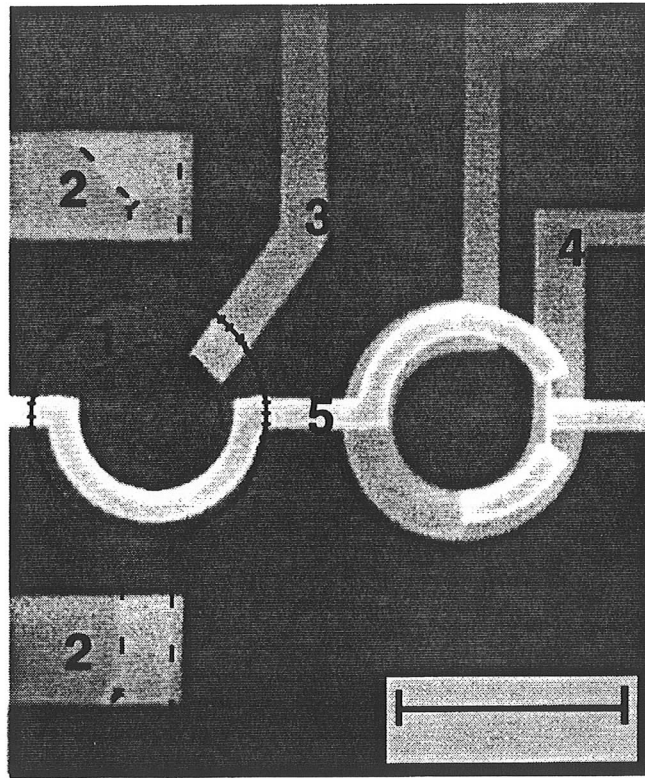


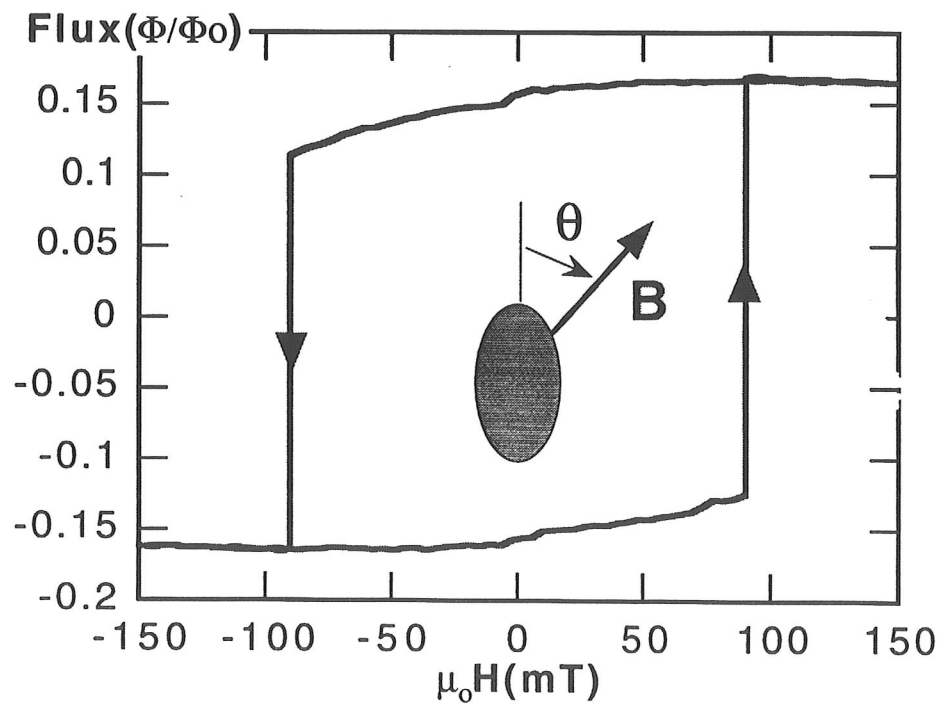
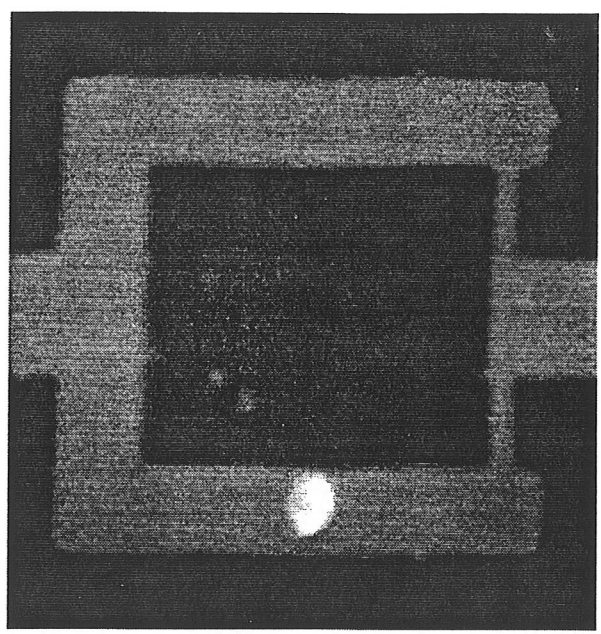
Figure C3: L'anneau gravé (1) est souligné par des traits pointillés pour plus de clareté. 2 et 3 sont des grilles qui permettent soit d'isoler l'anneau de ces plots de contacts (grille 2) soit de couper l'anneau pour supprimer tout effet d'interférence (grille). La bobine (4) permet de calibrer le SQUID. Sur cette photo seule la première partie du SQUID est présente (5). A droite, placées sur la bobine de calibration, on distingue les deux jonctions Josephson micropont.

MESURE DE COURANTS PERMANENTS
DANS UNE BOUCLE

Hysteresis studies

angular dependence of the switching field H_{sw}

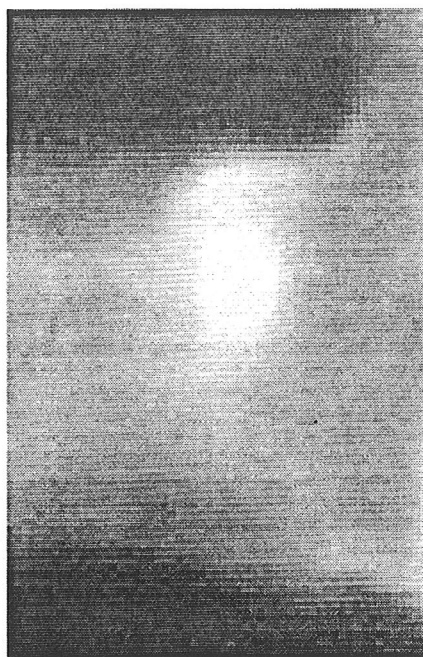
Co particle : 70 nm x 50 nm x 25nm



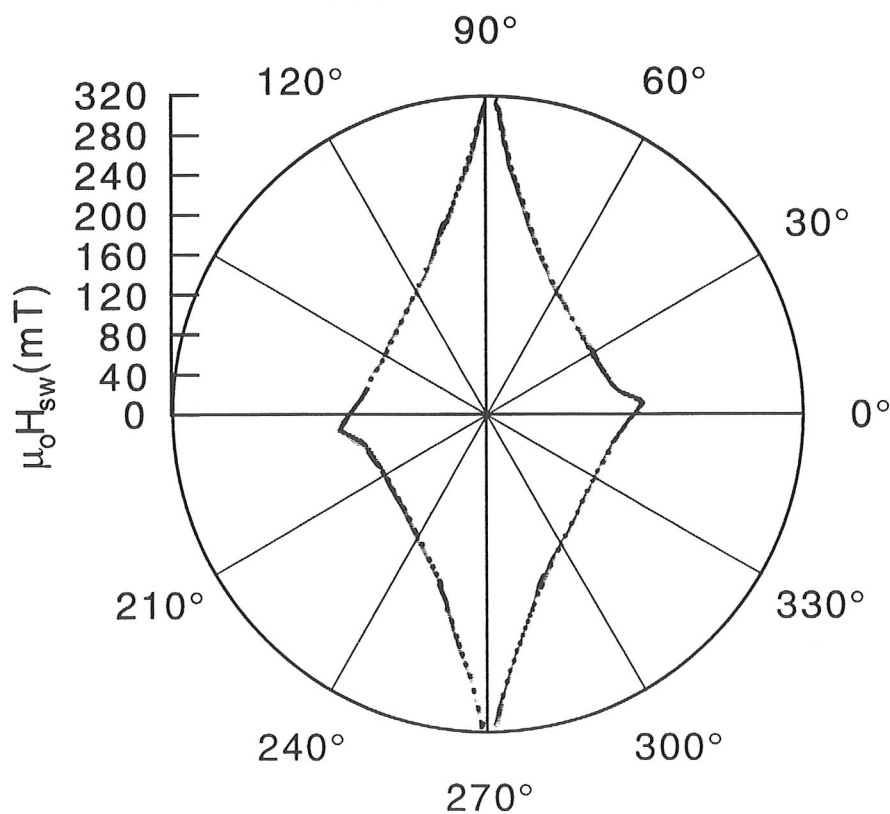
W. WERNDORFER - LLN
CRTAT

Co nanoparticles (fcc)

particle size
 ≈ 20 nm

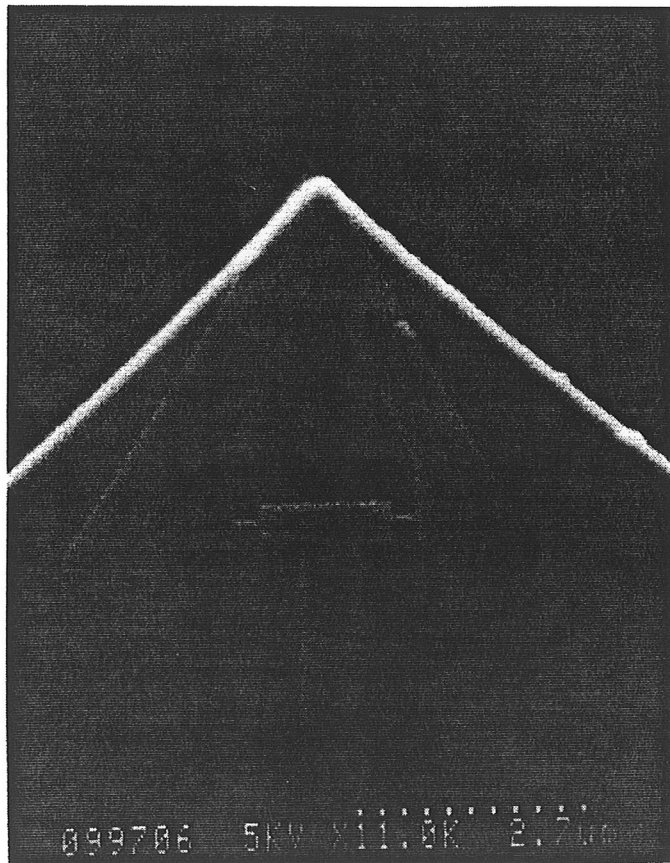


50 nm



Uniform rotation with the second anisotropy constant
Ching-Ray Chang, J. Appl. Phys. 69, 2431 (1991)

MICRO SQUID PLACÉ AU BOUT
D'UNE POINTE AFM



coll. K. Hasselbach, A. Benoit
CRIST

